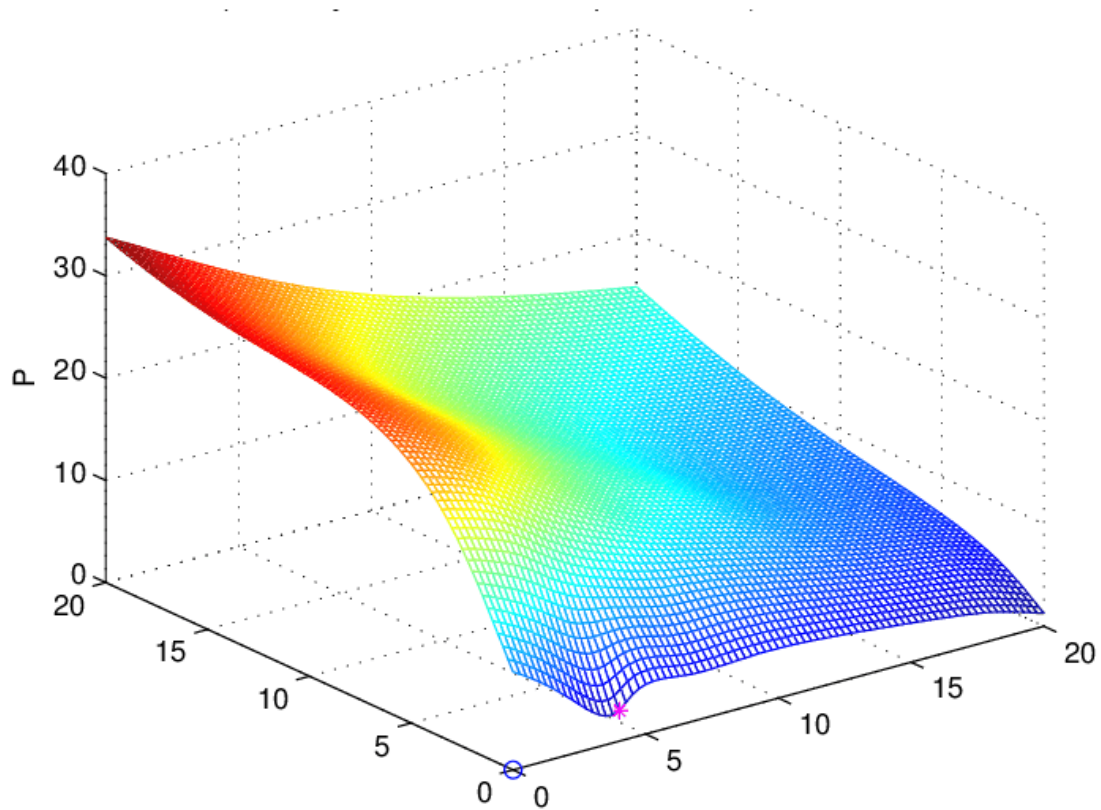


TP5 : Calibration du modèle de Heston



Adnane EL KASMI (ING3)
à l'attention de : Irina Kortchemski

Table des matières

I	Partie 1 : Simulation du modèle de Heston	2
1	Log return	2
2	Valeurs utilisées	2
3	Visualisation des graphiques	3
4	Calcul du prix du Call par Monte Carlo	4
5	Valeurs utilisées	5
6	Visualisation des graphiques	5
7	Calcul des Grecques par Monte Carlo	6
8	Valeurs utilisées	7
9	Visualisation des graphiques	7
II	Calibration du modèle de Heston	11
1	Eléments théoriques	11
2	Valeurs utilisées	11
3	Calibration du modèle de Heston - Graphique	12
4	Valeurs des paramètres estimés	12
III	Smile de volatilité	13
1	Valeurs utilisées	13
2	Smile de volatilité	13
3	Comparaison de la théorie BS et du modèle de Heston	14

I Partie 1 : Simulation du modèle de Heston

Dans cette partie ainsi que les autres, nous utiliserons la discrétisation d'Euler de l'actif S et de la volatilité v qui sont des processus stochastiques :

$$S_{i+1} = S_i e^{\left(r - \frac{v_i}{2}\right) \Delta t + \sqrt{v_i} \left(\rho \sqrt{\Delta t} N_1 + \sqrt{1 - \rho^2} \sqrt{\Delta t} N_2 \right)}$$
$$v_{i+1} = v_i + k (\theta - v_i) \Delta t + \eta \sqrt{v_i} \sqrt{\Delta t} N_1 + \frac{\eta^2}{4} \Delta t ((N_1)^2 - 1)$$

Ici les nombres N_1 et N_2 sont indépendants et suivent la loi normale centrée réduite.

1 Log return

Nous allons pour cette partie, visualiser :

- 4 courbes d'évolution/chemins de volatilité v dans le modèle de Heston.
- 4 courbes d'évolution/chemins de l'actif S dans le modèle de Heston.
- La fonction de densité de la variable aléatoire R tel que :

$$R = \ln \left(\frac{S(T)}{S_0} \right)$$

appelé le Log return, et ce selon 3 valeurs de ρ : $\rho = 0, \rho = 0.9, \rho = -0.9$

2 Valeurs utilisées

Les valeurs utilisées dans cette partie sont les suivantes :

$$\left\{ \begin{array}{l} N_{mc} = 10000 \\ T = 0.5 \\ K = 1 \\ S(0) = 1 \\ r = 0.01 \\ k = 2 \\ \rho = 0, 0.9, -0.9 \\ \theta = 0.04 \\ \eta = 0.3 \\ v_0 = 1 \\ \Delta t = T/100 \end{array} \right.$$

3 Visualisation des graphiques

Courbes d'évolution de la volatilité v

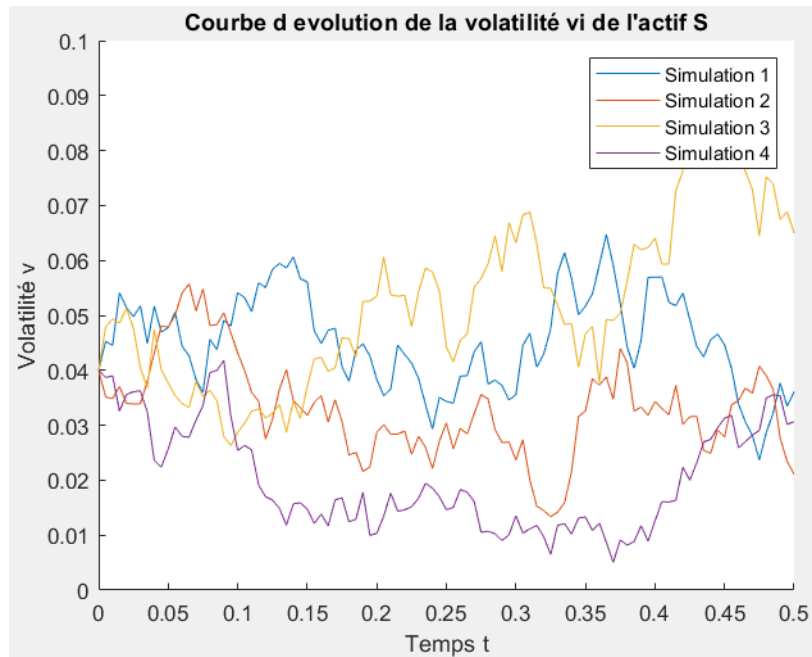


FIGURE 1 – Évolution de la volatilité v en fonction du temps t .

Courbes d'évolution de l'actif S



FIGURE 2 – Évolution de l'actif S en fonction du temps t .

Fonction de densité du Log return

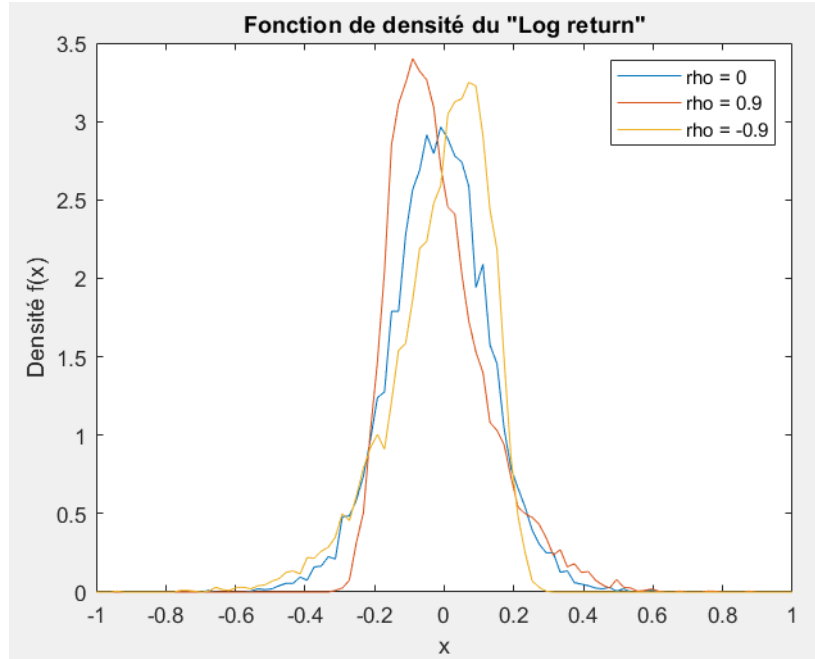


FIGURE 3 – Fonction de densité du log return selon les valeurs de ρ

On remarque que selon la valeur de ρ , la distribution du log Return est différente pour le modèle de Heston. Intuitivement, nous pouvons dire que, si $\rho > 0$, alors la volatilité augmente à mesure que le prix ou le rendement des actifs augmente. La queue de distribution à droite est plus large alors que la queue gauche de la distribution est plus serrée, créant donc une grosse distribution à droite. Inversement, si $\rho < 0$, la volatilité augmente lorsque le prix ou le rendement de l'actif diminue. La queue de distribution à gauche est plus large alors que la queue droite de la distribution est plus serrée, créant donc une grosse distribution à gauche. Nous pouvons donc dire que le coefficient ρ affecte l'asymétrie de la distribution (asymétrie décrite par le coefficient de Skewness).

4 Calcul du prix du Call par Monte Carlo

Nous allons pour cette partie, visualiser :

- La courbe du Call Européen dans le cadre du modèle de Heston.
- La valeur du prix du Call Européen pour la valeur $K = 10$.

Et ce pour un certain nombre de simulations Monte-Carlo :

- $N_{mc} = 100$.
- $N_{mc} = 1000$.

De plus, nous calculons le prix du Call Européen par utilisation de différents estimateurs :

Estimateur 1 :

$$V(S_0, 0)_{\text{estimate 1}}^{\text{heston}} = \frac{1}{N_{mc}} \sum_{n=1}^{N_{me}} \max(S_T^{(n)} - K, 0)$$

TP5 (Bonus): Adnane EL KASMI

Estimateur 2 (Réduction de la variance) :

$$V(S_0, 0)_{\text{estimeur 2}}^{\text{heston}} = \frac{1}{2N_{mc}} \sum_{n=1}^{N_{mc}} \left(\max(S_T^{(n)} - K, 0) + \left(\max(S_{T-Symetrique}^{(n)} - K, 0) \right) \right)$$

5 Valeurs utilisées

Les valeurs utilisées dans cette partie sont les suivantes :

$$\left\{ \begin{array}{l} N_{mc} \in \{100, 1000\} \\ T = 0.5 \\ K = 10 \\ r = 0.01 \\ k = 2 \\ \rho = 0 \\ \theta = 0.04 \\ \eta = 0.3 \\ v_0 = 1 \\ \Delta t = T/100 \end{array} \right.$$

6 Visualisation des graphiques

Nous obtenons le graphique ci-dessous :

Pour $N_{mc} = 100$:

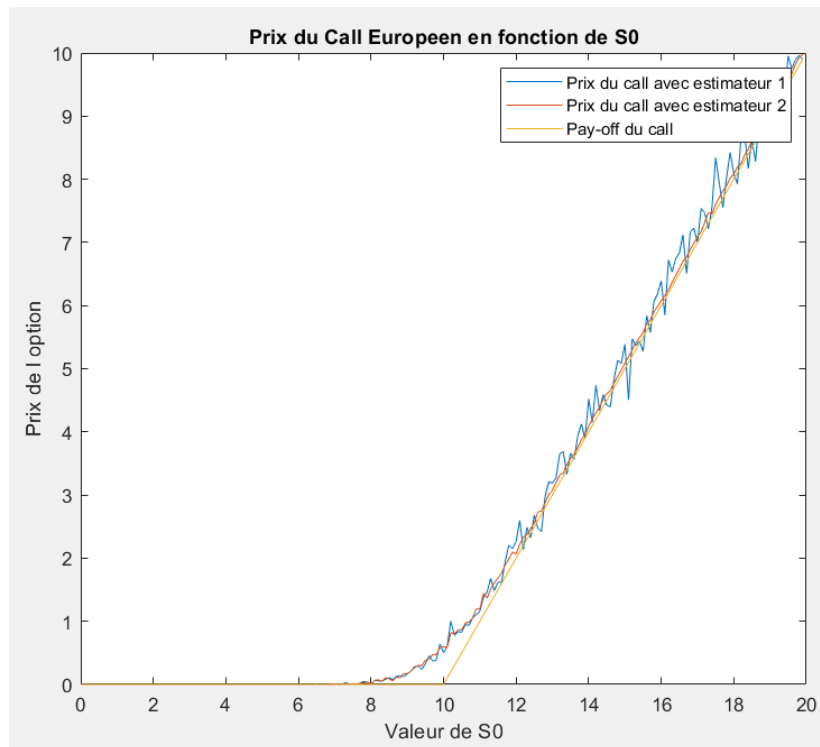


FIGURE 4 – Courbe du prix du Call Européen selon l'estimateur choisi dans le cadre du modèle de Heston $N_{mc} = 100$

TP5 (Bonus): Adnane EL KASMI

Prix du Call Européen avec Monte-Carlo pour $K = 10$:
0.5835

FIGURE 5 – Prix du Call Européen pour $K = 10$ dans le cadre du modèle de Heston $N_{mc} = 100$

Nous remarquons que la courbe rouge est plus lisse que la courbe bleu qui présente des variations. En effet, l'estimateur 2 correspond à la méthode de réduction de variance. Cette réduction s'observe donc bien sur le graphique ci-dessus :

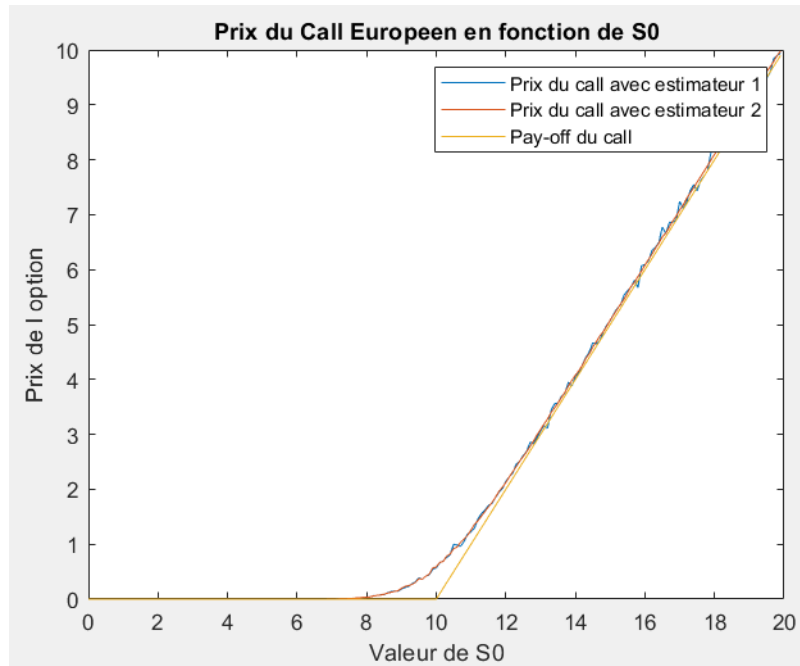


FIGURE 6 – Courbe du prix du Call Européen selon l'estimateur choisi dans le cadre du modèle de Heston $N_{mc} = 1000$

Prix du Call Européen avec Monte-Carlo pour $K = 10$:
0.5955

FIGURE 7 – Prix du Call Européen pour $K = 10$ dans le cadre du modèle de Heston $N_{mc} = 1000$

7 Calcul des Grecques par Monte Carlo

Nous allons pour cette partie, visualiser :

- La courbe d'évolution de l'option Grecque "Theta" en fonction de K dans le cadre du modèle de Heston.
- La courbe d'évolution de l'option Grecque "Eta" en fonction de K dans le cadre du modèle de Heston.

TP5 (Bonus): Adnane EL KASMI

Et ce pour un certain nombre de simulations Monte-Carlo :

- $N_{mc} = 100$.
- $N_{mc} = 1000$.
- $N_{mc} = 10000$.

Nous allons calculer le prix des Grecques par les formules suivantes :

Grecque "Theta" :

$$\frac{\partial V_p^{\text{heston}}}{\partial \theta} = \frac{V_{\text{estime } 2}^{\text{healon}}(t=0, S_0, K, N_1, N_2, \theta + h_1) - V_{\text{estime } 2}^{\text{healon}}(t=0, S_0, K, N_1, N_2, \theta - h_1)}{2h_1}$$

Grecque "Eta" :

$$\frac{\partial V_p^{\text{heston}}}{\partial \eta} = \frac{V(t=0, S_0, K, \eta + h_2)_{\text{estime } 2}^{\text{healon}} - V(t=0, S_0, K, \eta - h_2)_{\text{estime } 2}^{\text{healon}}}{2h_2}$$

8 Valeurs utilisées

Les valeurs utilisées dans cette partie sont les suivantes :

$$\left\{ \begin{array}{l} N_{mc} \in \{100, 1000, 10000\} \\ T = 0.5 \\ h_1 = h_2 = 0.1 \\ S_0 = 10 \\ K \in [0, 20] \\ r = 0.1 \\ k = 3 \\ \rho = 0.5 \\ \theta = 0.2 \\ \eta = 0.5 \\ v_0 = 0.04 \\ \Delta t = T/100 \end{array} \right.$$

9 Visualisation des graphiques

Nous faisons varier $K \in [0, 20]$ et nous obtenons les graphiques ci-dessous :

Pour $N_{mc} = 100$:

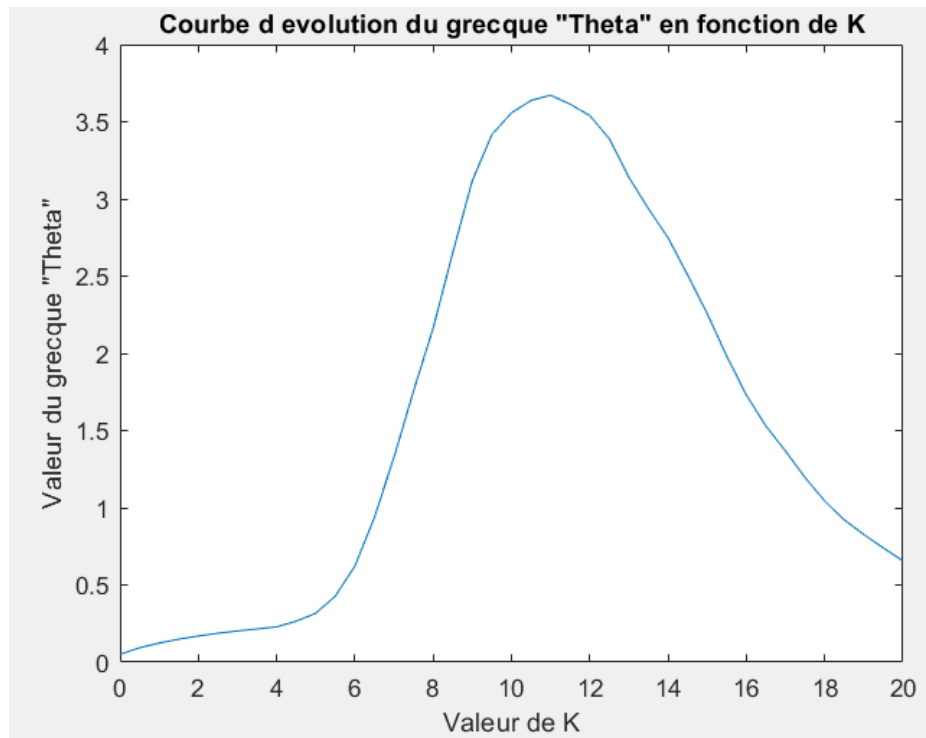


FIGURE 8 – Courbe d'évolution de l'option Grecque "Theta" en fonction de K dans le cadre du modèle de Heston $N_{mc} = 100$

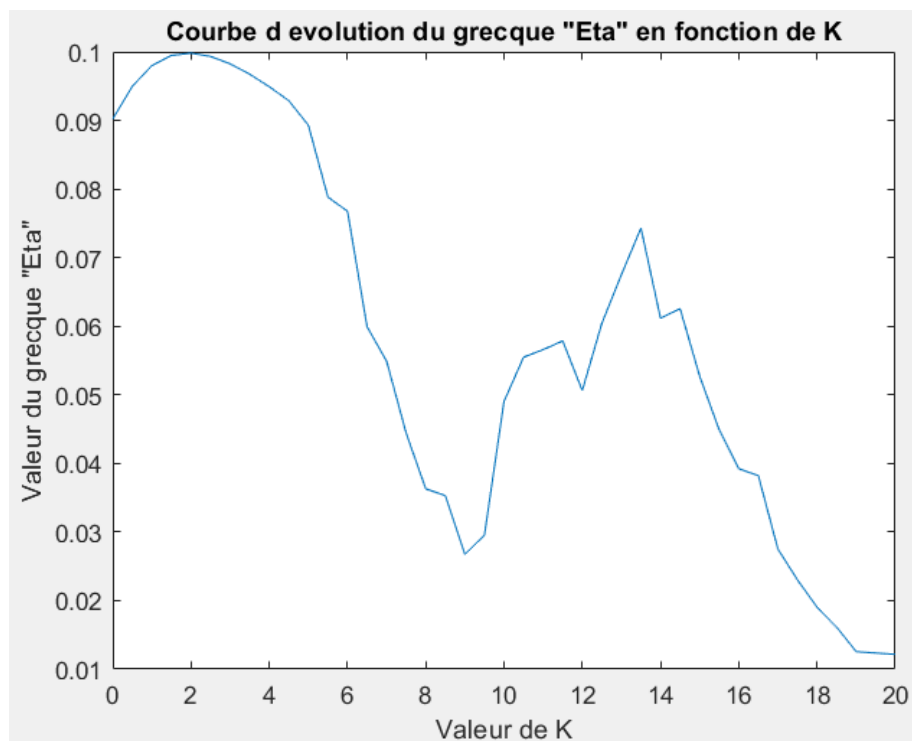


FIGURE 9 – Courbe d'évolution de l'option Grecque "Eta" en fonction de K dans le cadre du modèle de Heston $N_{mc} = 100$

TP5 (Bonus): Adnane EL KASMI

Pour $N_{mc} = 1000$:

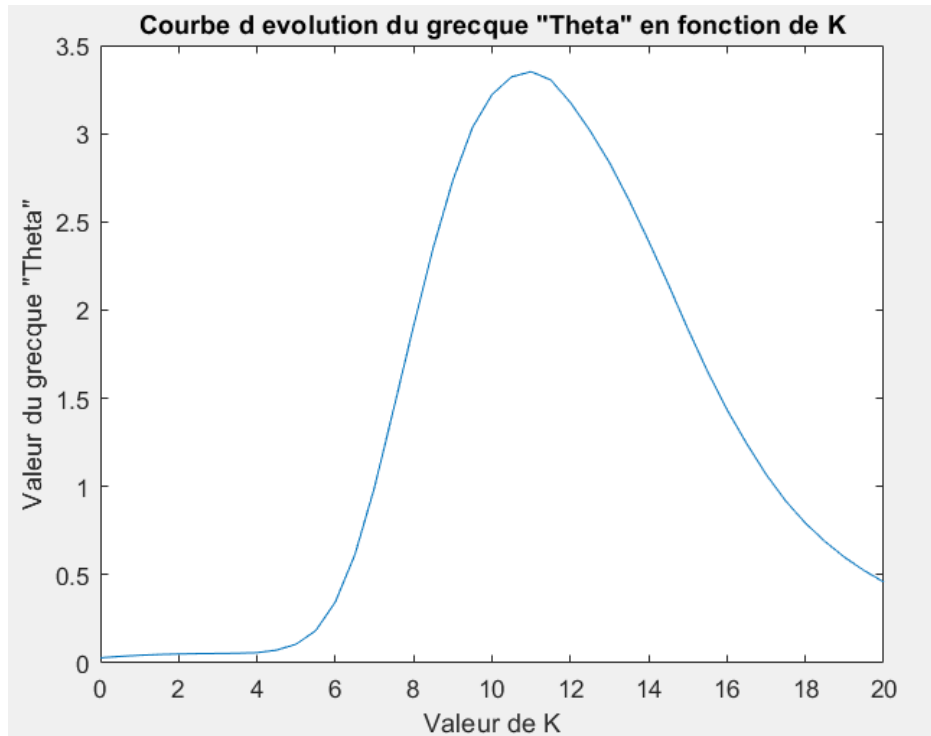


FIGURE 10 – Courbe d'évolution de l'option Grecque "Theta" en fonction de K dans le cadre du modèle de Heston $N_{mc} = 1000$

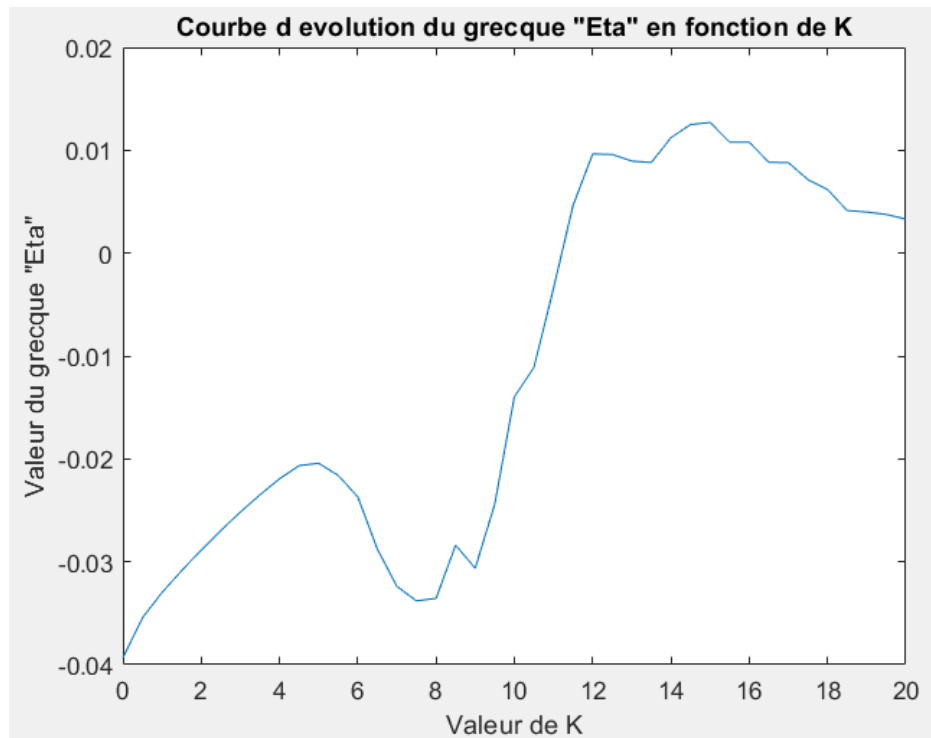


FIGURE 11 – Courbe d'évolution de l'option Grecque "Eta" en fonction de K dans le cadre du modèle de Heston $N_{mc} = 1000$

TP5 (Bonus): Adnane EL KASMI

Pour $N_{mc} = 10000$:

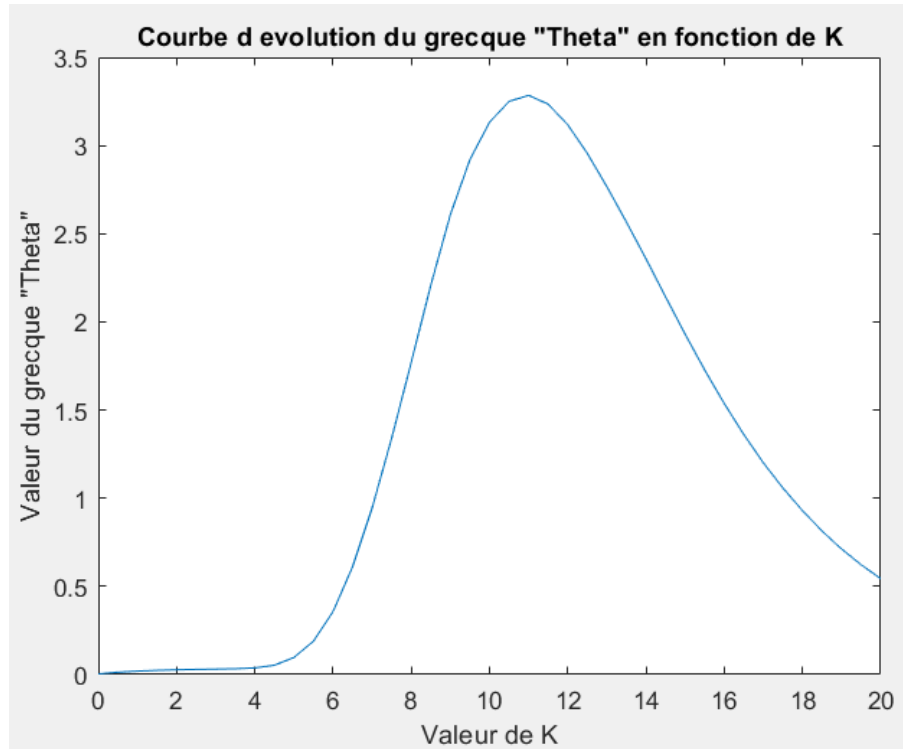


FIGURE 12 – Courbe d'évolution de l'option Grecque "Theta" en fonction de K dans le cadre du modèle de Heston $N_{mc} = 10000$

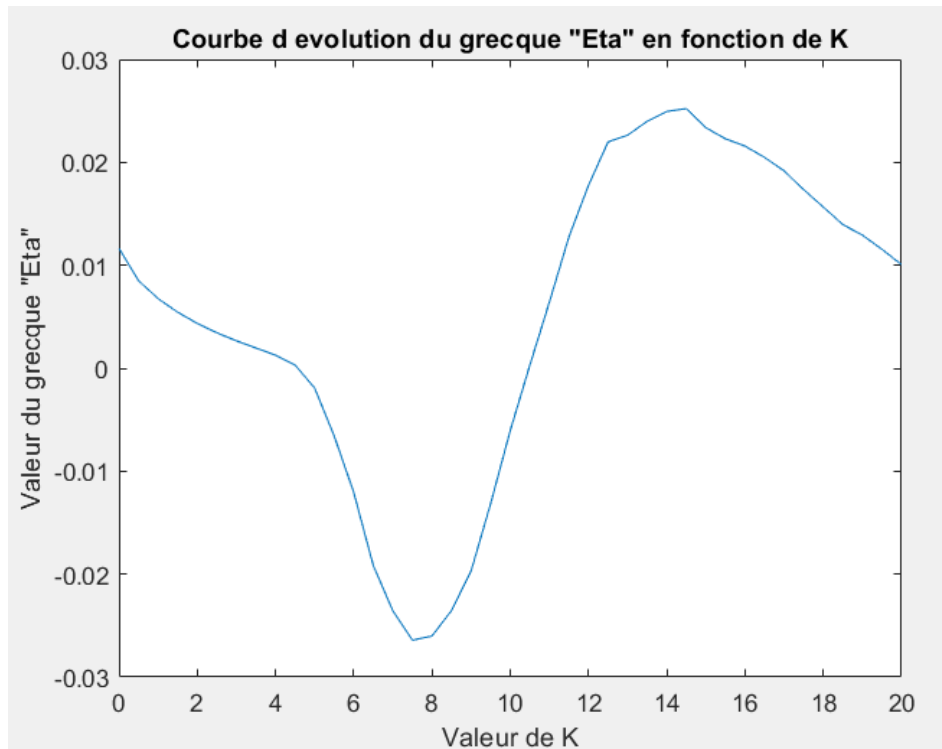


FIGURE 13 – Courbe d'évolution de l'option Grecque "Eta" en fonction de K dans le cadre du modèle de Heston $N_{mc} = 10000$

II Calibration du modèle de Heston

Dans cette partie, nous allons effectuer calibrer du modèle de Heston par estimation des paramètres θ et η via l'algorithme de Levenberg-Marquardt.

1 Éléments théoriques

Pour implémenter l'algorithme de Levenberg-Marquardt dans ce cadre, nous avons besoin de la Jacobienne $J_{pi}(\beta) = \frac{\partial r_p}{\partial \beta_i}$, et donc de l'expression des dérivées de r_p où

$$r_p = V^{\text{marche}}(T_p, \mathcal{K}_p) - V^{\text{heston}}(T_p, \mathcal{K}_p, \beta_1, \beta_2)$$

par rapport à β_1 et β_2 . Nous avons donc :

$$\frac{\partial r_p}{\partial \beta_i} = -\frac{\partial V_p^{\text{heston}}}{\partial \beta_i}$$

2 Valeurs utilisées

Pour réaliser cette calibration, nous utiliserons les valeurs suivantes :

$$\left\{ \begin{array}{l} N_{mc} = 1000 \\ S(0) = 10 \\ r = 0.01 \\ T = 0.5 \\ \beta_1(0) = \theta^{(0)} = 0.2 \\ \beta_2(0) = \eta^{(0)} = 0.5 \\ \epsilon = 10^{-4} \\ \lambda = 0.01 \\ \mathcal{K}_p = [8, 8.4, 8.8, 9.2, 9.6, 10, 10.4, 10.8, 11.2, 11.6, 12, 12.4, 12.8, 13.2, 13.6, 14, 14.4, 14.8, 15.2, 15.6, 16] \\ V_p^{\text{marche}} = [2.0944, 1.7488, 1.4266, 1.1456, 0.8919, 0.7068, 0.5461, 0.4187, 0.3166, 0.2425, 0.1860, 0.1370, 0.0967, 0.0715, 0.0547, 0.0381, 0.0306, 0.0239, 0.0163, 0.0139, 0.0086] \end{array} \right.$$

3 Calibration du modèle de Heston - Graphique

Pour $[\beta_1; \beta_2] = [0.2, 0.5]$, nous obtenons le graphique de V_{heston} et V_{marche} en fonction de K_{marche} suivant :

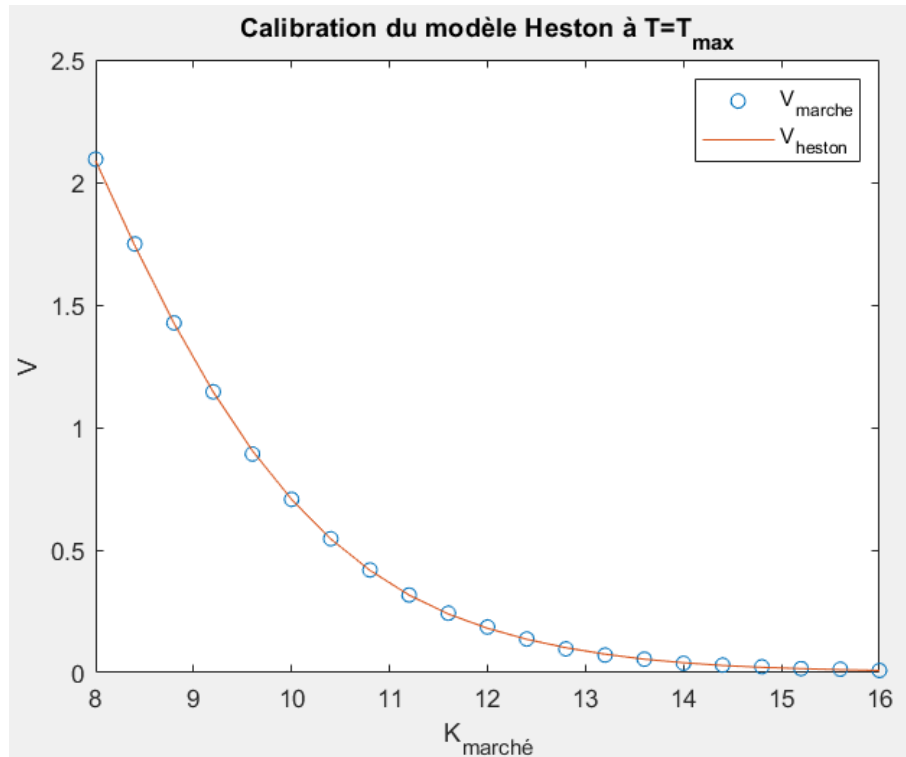


FIGURE 14 – Graphique représentant V en fonction de K - Après calibration

4 Valeurs des paramètres estimés

Une fois l'algorithme de calibration réalisé, nous obtenons les paramètres estimés suivants :

```
Valeur du paramètre estimé theta =  
0.0897  
  
Valeur du paramètre estimé eta =  
0.2843
```

FIGURE 15 – Valeur des paramètres estimés β_1 et β_2 par calibration - Modèle Heston

III Smile de volatilité

Dans cette partie, nous allons tracer :

- Le smile de volatilité implicite, en fonction de K .
- Le graphique représentant le prix de l'option dans le cadre du modèle Heston V_{heston} , t dans le cadre de la théorie de Black-Scholes V_{BS} afin de comparer et de conclure sur la différence de ces deux théories.

1 Valeurs utilisées

Pour réaliser cette calibration, nous utiliserons les valeurs suivantes :

$$\left\{ \begin{array}{l} N_{mc} \in \{100, 1000, 10000\} \\ T = 0.5 \\ L = 20 \\ S_0 = 10 \\ K = 10 \\ r = 0.1 \\ k = 0.3 \\ \rho = 0.7 \\ \theta = 0.3 \\ \eta = 0.4 \\ v_0 = 0.03 \\ \Delta t = T/100 \end{array} \right.$$

2 Smile de volatilité

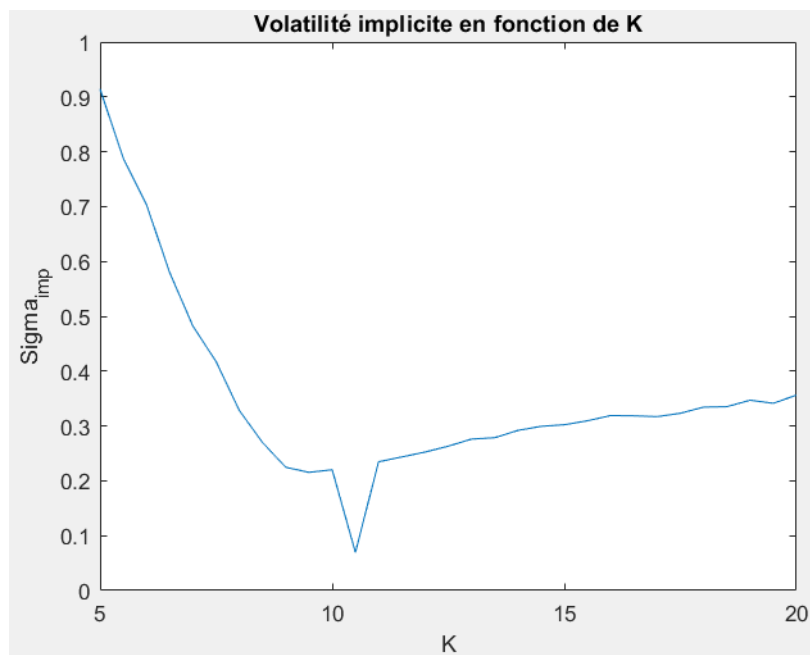


FIGURE 16 – Smile de volatilité - Volatilité implicite en fonction de K

Nous obtenons bien le Smile de volatilité.

3 Comparaison de la théorie BS et du modèle de Heston

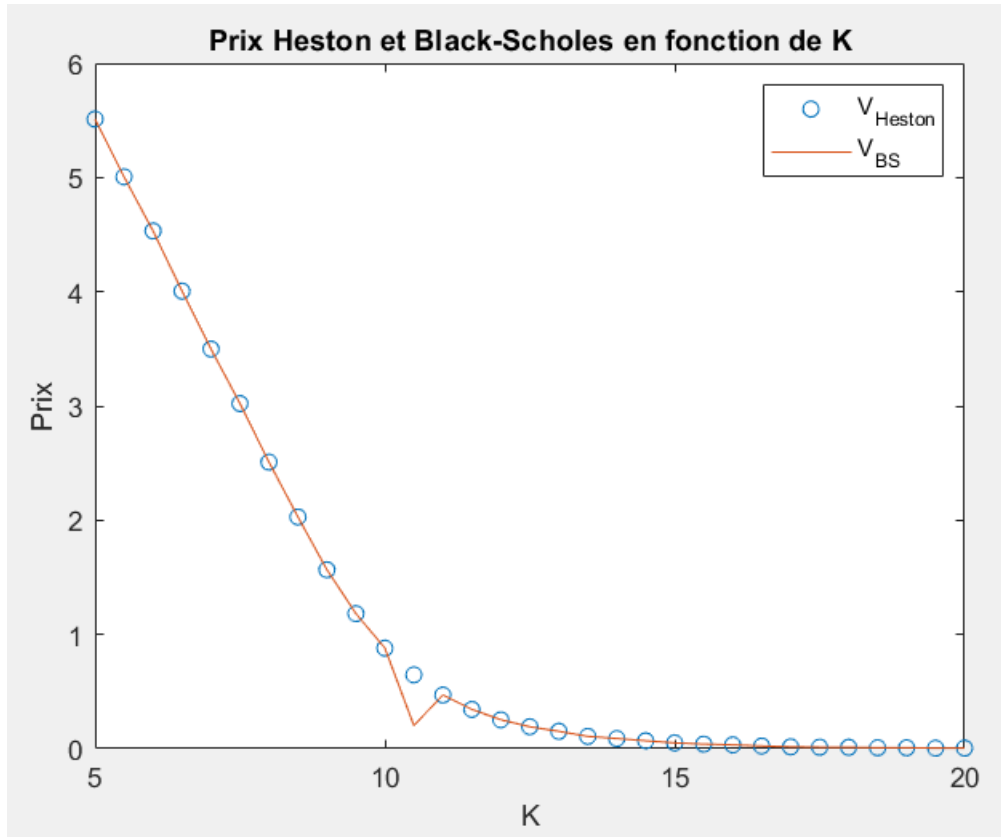


FIGURE 17 – V_{Heston} et V_{BS} en fonction de K - Comparaison des théories

Remarque : Le modèle de Heston prend en compte un phénomène anormal et donc la volatilité implicite est plus adaptée grâce à l'utilisation du modèle de Heston plutôt que son utilisation dans la théorie de Black-Scholes.